

## **EKSPLORASI BIJIH BESI DENGAN METODE DIPOLE-DIPOLE DAN GEOMAGNET DI WILAYAH GANTUNG, KABUPATEN BLITUNG TIMUR, PROVINSI BLITUNG**

**Andi Agus Noor**

Laboratorium Geofisika, Fakultas Teknik Geologi, UNPAD

### **ABSTRACT**

*The geological distribution of iron ore in the area of research is relatively east-west with the thickness varies between 3-10 meters. Configuration subsurface geology of the results obtained with the method of exploration geophysics dipole-dipole and geomagnet.*

*From the results of the exploration can be concluded that the distribution of iron ore almost evenly in all the track in the depth of 20 - 30 meters*

**Keywords:** iron ores, configuration, dipole, geomagnetic

### **ABSTRAK**

Secara geologi penyebaran bijih besi di wilayah penelitian diperkirakan berarah relatif barat-timur dengan ketebalan bervariasi antara 3-10 meter. Gambaran konfigurasi geologi bawah permukaan diperoleh dari hasil eksplorasi geofisika dengan metode dipole-dipole dan geomagnet.

Dari hasil eksplorasi dapat disimpulkan bahwa penyebaran bijih besi hampir merata di semua lintasan di kedalaman 20 – 30 meter.

**Kata kunci :** Bijih besi, konfigurasi, dipole-dipole, geomagnet

### **PENDAHULUAN**

Berdasarkan hasil pemetaan geologi di wilayah penelitian, penyebaran bijih besi diperkirakan berarah relatif barat-timur dengan ketebalan bervariasi antara 3-10 meter dan keterdapatannya mengikuti morfologi punggungan bukit.

Secara regional di wilayah Gantung, jenis bijih besi berupa intrusi yang merupakan hasil proses geotermal yang bersifat *radial dike*, dimana proses penerobosan geotermal muncul di permukaan dan setempat-setempat di daerah yang zonasinya relatif lemah, serta membentuk perbukitan. Hal ini diperkuat selain ditemukannya *backing effect* juga terdapat kekar-kekakar yang merupakan pengaruh dari terobosan geotermal (Baharuddin; Sidarto, 1995). Kondisi geologi tersebut merupakan sumberdaya yang perlu di tingkatkan statusnya guna memperkirakan potensi yang ada di wilayah ini. Sebagai gambaran awal perlu dilakukan pemetaan geologi bawah

permukaan dengan metode-metode geofisika.

Penelitian ini bertujuan untuk menentukan konfigurasi bijih besi dengan menggunakan kombinasi metode-metode geofisika yaitu metode dipole-dipole untuk memperoleh gambaran variasi tahanan jenis secara vertikal sedangkan data geomagnet adalah untuk gambaran variasi lateral berdasarkan anomali hasil distorsi pada medan magnetik yang diakibatkan oleh material magnetik dari bawah permukaan (Hansen,D.A.,1996).

Penampang tahanan jenis hasil pengukuran dari 11 lintasan di lokasi penelitian kemudian dikorelasikan dengan data geomagnet dan data geologi, sehingga konfigurasi bijih besi di wilayah penelitian dapat ditentukan.

### **BAHAN DAN METODE**

Peta geologi, peta topografi dan peta geomorfologi wilayah penelitian sebagai bahan dasar dalam me-

nentukan permasalahan sebagai fenomena yang akan diteliti, sehingga dalam penelitian ini ditetapkan metode eksplorasinya adalah kombinasi antara dipole-dipole dan geomagnet untuk menentukan konfigurasi bijih besi.

Metode dipole-dipole yaitu dengan cara menginjeksikan arus listrik ke dalam bumi melalui sepasang elektroda arus A dan B, kemudian mengukur beda potensial melalui sepasang elektroda potensial M dan N. Harga tahanan jenis semu yang terukur dipengaruhi oleh adanya perbedaan harga tahanan jenis masing-masing lapisan batuan bawah permukaan.

Secara umum persamaan tahanan jenis semu adalah sebagai berikut :

$$\rho_a = K \frac{\Delta V}{I} \quad (1)$$

$$K = \frac{2\pi}{\left( \frac{1}{r_1} - \frac{1}{r_2} \right) - \left( \frac{1}{r_3} - \frac{1}{r_4} \right)} \quad (2)$$

Keterangan :

- $\rho_a$  = tahanan jenis semu
- $K$  = faktor geometri
- $\Delta V$  = beda potensial antara M dan N
- $I$  = besarnya arus yang diinjeksikan melalui A dan B

Sehingga harga tahanan jenis semu sangat tergantung pada faktor geometris, atau dengan kata lain tergantung pada konfigurasi/susunan elektroda yang digunakan.

Bila permukaan bumi dianggap datar maka persamaan (2) dapat disederhanakan menjadi :

$$K = \pi (N) (N+1) (N+2) X \quad (3)$$

dimana :

$$N = 1, 2, 3, \dots, dst$$

$X$  = spasi elektroda

Metode geomagnet didasarkan pada pengukuran variasi kecil intensitas medan magnetik di permukaan bumi. Variasi ini disebabkan oleh adanya variasi distribusi batuan termagnetisasi di bawah permukaan bumi. Selain itu, variasi medan magnetik bisa disebabkan oleh adanya perubahan struktur geologi di bawah permukaan bumi.

Variasi intensitas medan magnetik yang terukur (medan anomali) kemudian ditafsirkan dalam bentuk distribusi bahan magnetik di bawah permukaan yang kemudian dijadikan dasar bagi pendugaan kondisi geologi yang mungkin.

$$F = (p_1 \cdot p_2 / m r^2) r_1 \quad (4)$$

$$H = F / p_2 = (p_1 / m r^2) r_1 \quad (5)$$

Keterangan :

- $H$  = Intensitas magnetik (gamma / nano Tesla)
- $F$  = Gaya yang berkerja pada  $p_2$
- $p_1$  &  $p_2$  = kuat kutub
- $m$  = permeabilitas magnetik
- $r$  = jarak antara  $p_1$  &  $p_2$
- $r_1$  = vektor satuan arah  $p_1$  ke  $p_2$

## HASIL DAN PEMBAHASAN

Konfigurasi bijih besi diperoleh berdasarkan interpretasi dan korelasi dengan hasil pengukuran geofisika (geomagnet dan geolistrik), dan bentuk cebakan bijih besi yang terdapat di wilayah penelitian merupakan model tubuh intrusi dengan bentuk yang semakin melebar pada kedalaman > 20 meter (lihat gambar).

Kisaran harga tahanan jenis batuan dari hasil pengukuran dengan metode dipole-dipole di wilayah penelitian dan dengan korelasi litologinya (Dobrin, M.B.,1976) seperti pada Tabel 1.

- Lintasan A\_0 dengan panjang lintasan pengukuran 60 m diperkirakan didominasi oleh *boulder-boulder* bijih besi, di titik pengukuran 20-40 m pada kedalaman 20 sampai dengan 30 m terdapat bijih besi masif.
- Lintasan A\_1 dengan panjang lintasan pengukuran 70 m, diperkirakan juga masih di dominasi oleh *boulder-boulder* bijih besi, dan di titik pengukuran 20-50 m pada kedalaman 15 sampai dengan 30 m terdapat bijih besi masif.
- Lintasan A\_2 dengan panjang lintasan pengukuran 90 m, diperkirakan juga masih di dominasi oleh *boulder-boulder* bijih besi, di titik pengukuran 75-90 m pada kedalaman 25 sampai dengan 30 m terdapat bijih besi masif. Pada titik pengukuran 10-55 m terdapat kaolinit dan tuf yang menyisip pada kedalaman 10 sampai 15 m.
- Lintasan A\_3 dengan panjang lintasan pengukuran 90 m, diperkirakan pada titik pengukuran 0-30 m berupa kaolinit diperkirakan hasil dari kontak magmatis dan tuf yang terkena proses pemanggangan (*backing effect*) sampai kedalaman 30 m, dan di titik pengukuran 30-90 m terdapat *boulder-boulder* bijih besi dari permukaan sampai pada kedalaman 30 m, di titik pengukuran 60-80 m terdapat kaolinit dan tuf kembali pada kedalaman 5 sampai 15 m.
- Lintasan A\_4 dengan panjang lintasan pengukuran 140 m, diperkirakan di titik pengukuran 0-70 m berupa *boulder-boulder* bijih besi sampai kedalaman 30 m, dan di titik pengukuran 10-70 m terdapat tuf dan kaolin yang menyisip di kedalaman 5 sampai pada kedalaman 15 m, dan menerus dari titik

pengukuran 70-140 m dengan kedalaman sampai 30 m, dan di titik pengukuran 120-140 m terdapat *boulder* bijih besi di kedalaman 20 sampai 30 m.

- Lintasan A\_5 dengan panjang lintasan pengukuran 170 m, diperkirakan pada titik pengukuran 0-25 m berupa *boulder-boulder* bijih besi sampai kedalaman 30 m, dan di titik pengukuran 25-50 m terdapat bijih besi masif sampai kedalaman 30 m, di titik pengukuran 50-120 m kembali terdapat *boulder-boulder* bijih besi sampai pada kedalaman 30 m, dan di titik pengukuran 90-110 m menyisip kaolinit dan tuf pada kedalaman 10 sampai 20 m yang menerus dari titik pengukuran 110 m s.d. 170 m dari permukaan sampai kedalaman 30 m.
- Lintasan A\_6 dengan panjang lintasan 140 m, diperkirakan di titik pengukuran 0-90 m berupa *boulder-boulder* bijih besi yang berada di permukaan hingga kedalaman 30 m. Di titik pengukuran 30-60 m berupa bijih besi masif pada kedalaman 10 hingga 30 m, dan di titik pengukuran 90-130 m berupa kaolinit dan tuf pada kedalaman 5 hingga 30 m.
- Lintasan A\_7 dengan panjang lintasan 170 m terdapat kaolin dan tuf pada titik pengukuran 0-40 m dari permukaan hingga kedalaman 30 m, di titik pengukuran 40-120 m diperkirakan berupa *boulder-boulder* bijih besi dari permukaan hingga kedalaman 30 m, di titik pengukuran 120-170 berupa kaolin dan tuf hingga kedalaman 30 m, sedangkan pada titik 50-60 dan 80-110 diperkirakan merupakan bijih besi masif pada kedalaman 20-30m.
- Lintasan A\_8 dengan panjang lintasan 210 m, diperkirakan di titik pengukuran 0-70 m berupa *boulder-boulder* bijih besi yang berada di permukaan hingga kedalaman 30 m. Di titik pengukuran 70-210 m berupa bijih besi masif pada kedalaman 10 hingga 30 m,

- dan di titik pengukuran 10-30 m berupa kaolinit dan tuf pada kedalaman 5 hingga 15 m.
- Lintasan A\_9 dengan panjang lintasan 200 m, didominasi oleh *boulder-boulder* bijih besi yang berada di permukaan hingga kedalaman 30 m. Kemudian di titik pengukuran 40-50 m, 70-90 m, 100-110 m 130-140 m dan 160-170 m berupa bijih besi masif pada kedalaman 15 hingga 30 m yang diperkirakan berupa *radial dike*, dan di titik pengukuran 10-30 m berupa kaolinit dan tuf pada kedalaman 5 hingga 15 m.
  - Lintasan A\_10 dengan panjang lintasan 200 m, didominasi oleh *boulder-boulder* bijih besi dengan kedalaman bervariasi mulai dari permukaan hingga kedalaman 30 m. Di titik pengukuran 10-30 m dan 150-175 terdapat kaolin dan tuf dengan kedalaman 5 sampai 20 m, Kemudian di titik pengukuran 40-50 m, 70-80 m, 95-110 m 130-140 m dan 190-200 m berupa bijih besi masif pada kedalaman 15 hingga 30 m yang diperkirakan berupa *radial dike*.
  - Lintasan A\_11 dengan panjang lintasan 130 m, didominasi oleh *boulder-boulder* bijih besi dengan kedalaman bervariasi mulai dari permukaan hingga kedalaman 30 m. Di titik pengukuran 10-50 m terdapat kaolin dan tuf dengan kedalaman 5 sampai 20 m, Kemudian di titik pengukuran 55-75 m, 80-100 m, 95-110 m dan 120-130 m berupa bijih besi masif pada kedalaman 15 hingga 30 m yang diperkirakan berupa *radial dike*.

## KESIMPULAN

Pada peta anomali tahanan jenis terlihat bahwa di permukaan di-dominasi oleh kaolin dan tuf (kedalaman < 10 meter). Di beberapa lintasan pada kedalaman ± 10 m (N1) terdapat *boulder-boulder* bijih besi seperti di lintasan A\_0, A\_1, A\_6, A\_8

dan A\_10. Pada kedalaman ± 15 m (N2) terlihat *boulder-boulder* bijih besi semakin banyak dan menyebar hampir di semua lintasan, tetapi di lintasan A\_4, A\_5, A\_6 dan A\_7 terlihat masih adanya lapisan tuf dan kaolin yang semakin kedalam semakin menipis. Di tengah lintasan A\_8 (jarak 60-80 meter) diperkirakan terdapat bijih besi masif yang terlihat mulai membuka, dan di kedalaman ± 20 (N3) terlihat semakin menyebar dan membuka ke arah timur pada lintasan A\_9, A\_10 sampai ke lintasan A\_11.

Ke arah barat mulai dari lintasan A\_7 sampai A\_2 terdapat *boulder-boulder* bijih besi dan di lintasan A\_1 kembali terdapat bijih besi masif.

Pada kedalaman ± 25-30 m (N4) terlihat *boulder-boulder* bijih besi semakin menipis dan terkonsentrasi di lintasan A\_4 dan A\_5. Sedangkan bijih besi masif terlihat mulai mendominasi di hampir semua lintasan (A\_1 ~ A\_3 dan A\_6 ~ A\_12).

Berdasarkan hasil pengukuran geomagnet juga ditemukan anomali pada lintasan A\_4 ~ A\_10 yang merupakan hasil efek magnetic batuan yang bersifat *diamagnetic*.

Pada lintasan A\_6 dan A\_7 terlihat anomali magnet dengan harga tinggi (*high magnetic*) yang menyebar. Hal ini menandakan bentuk batuan (bijih besi) berupa tubuh atau *intrusive*.

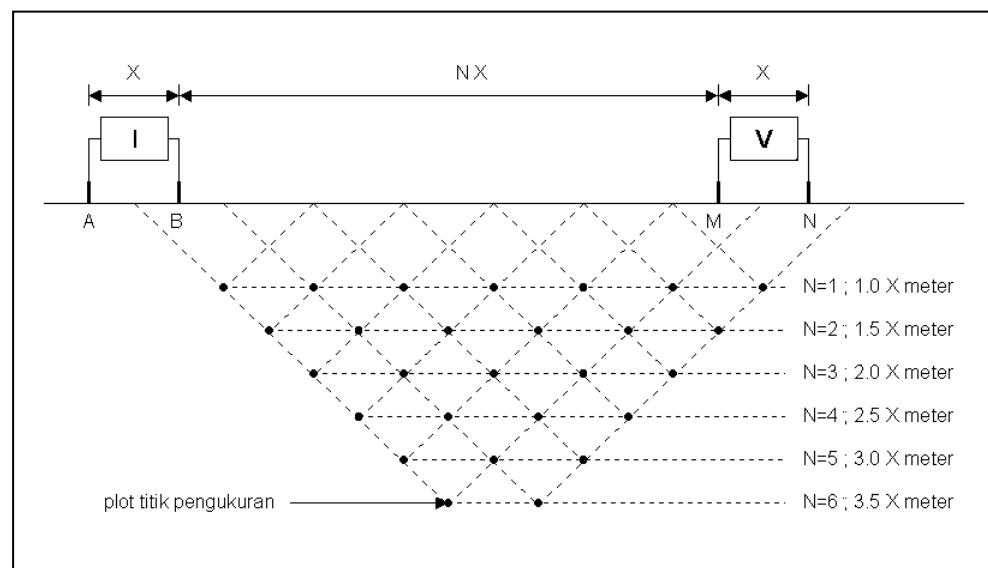
Dengan demikian dapat disimpulkan bahwa di lokasi tersebut terdapat *source* bijih besi berupa tubuh batuan yang berbentuk terobosan (*dike*). Penyebaran bijih besi hampir merata pada semua lintasan di kedalaman 20-30 m dan batuan kaolin yang terdapat di lokasi hanya mengisi kekar-kekak hasil intrusi.

## DAFTAR PUSTAKA

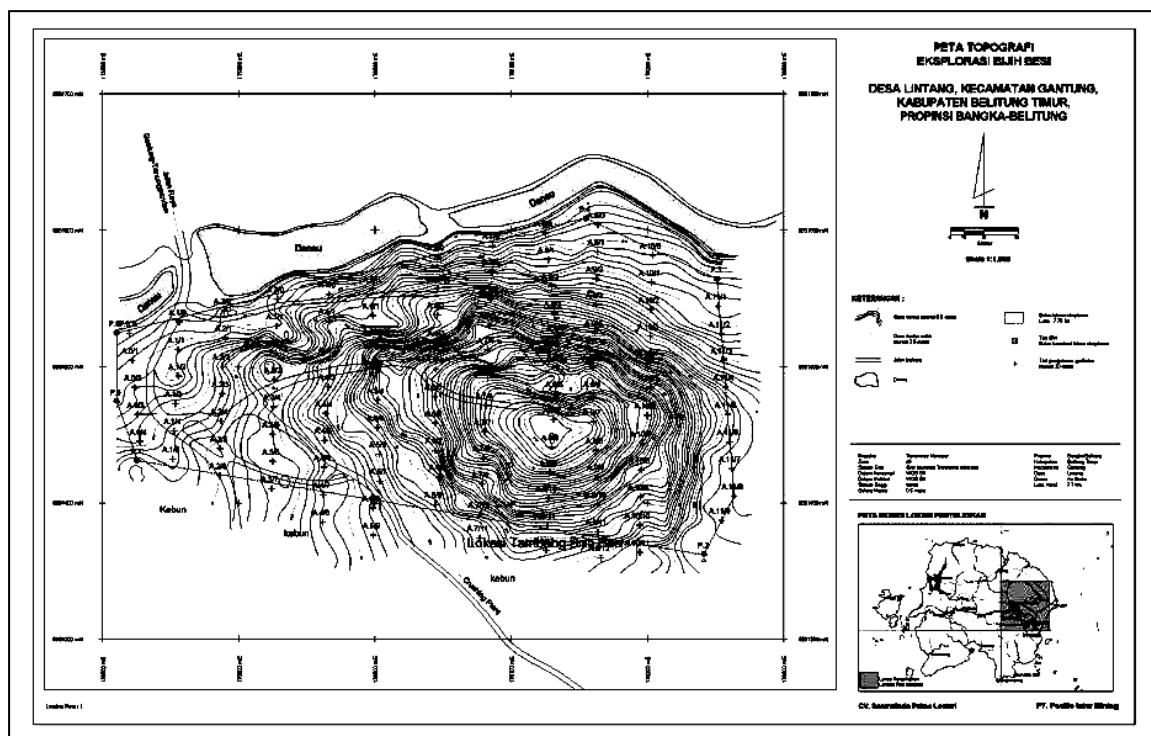
- Baharuddin; Sidarto, 1995,** Peta Geologi Lembar Belitung, Sumatra, Skala 1:250.000, Departemen Pertambangan dan Energi, Direktorat Geologi dan Sumberdaya Mineral, Pusat Penelitian dan Pengembangan Geologi, Bandung.
- Dobrin, M.B., 1976,** *Introduction To Geophysical Prospecting*, Third Edition, Houston.
- Hansen, D.A., 1996,** *Exploration Case History Of A Disseminated Copper Deposit*, Society of Exploration Geophysicts, Mining Geophysics, Case Histories, Vol. 1, California.
- Leney, G.W., 1966,** *Field Studies in Iron Ore Geophysics*, Houston, Society of Exploration Geophysicts, Mining Geophysics, Case Histories, Vol. 1,. Tulsa, Oklahoma.
- Leney, G.W., 1969,** *Field Studies In Iron Geophysics, Texas*, Society of Exploration Geophysicts, Mining Geophysics, Case Histories, Vol. 1., Tulsa, Oklahoma.
- Loke M.H. and Barker R.D., 1996,** *Rapid Least-Squares Inversion of Apparent Resistivity Pseudosection by Quasi-Newton Method*, Geophysics Prospecting 44, 131-152.
- Rogers, G.R., 1969,** An Evaluation Of The Induced Polarization Method In The Search For Disseminated Sulfides, Arizona.

Tabel 1. Kisaran Tahanan Jenis dan korelasi litologinya

| No. | Tahanan Jenis<br>(resistivity)<br>(ohm.meter) | Litologi           |
|-----|---|--------------------|
| 1.  | 500 – 2000                                    | Kaolin/Kaolinit    |
| 2.  | 1000 – 7500                                   | Tuff               |
| 3.  | 2000 – 25000                                  | Bijih besi boulder |
| 4.  | > 7500  | Bijih besi masive  |

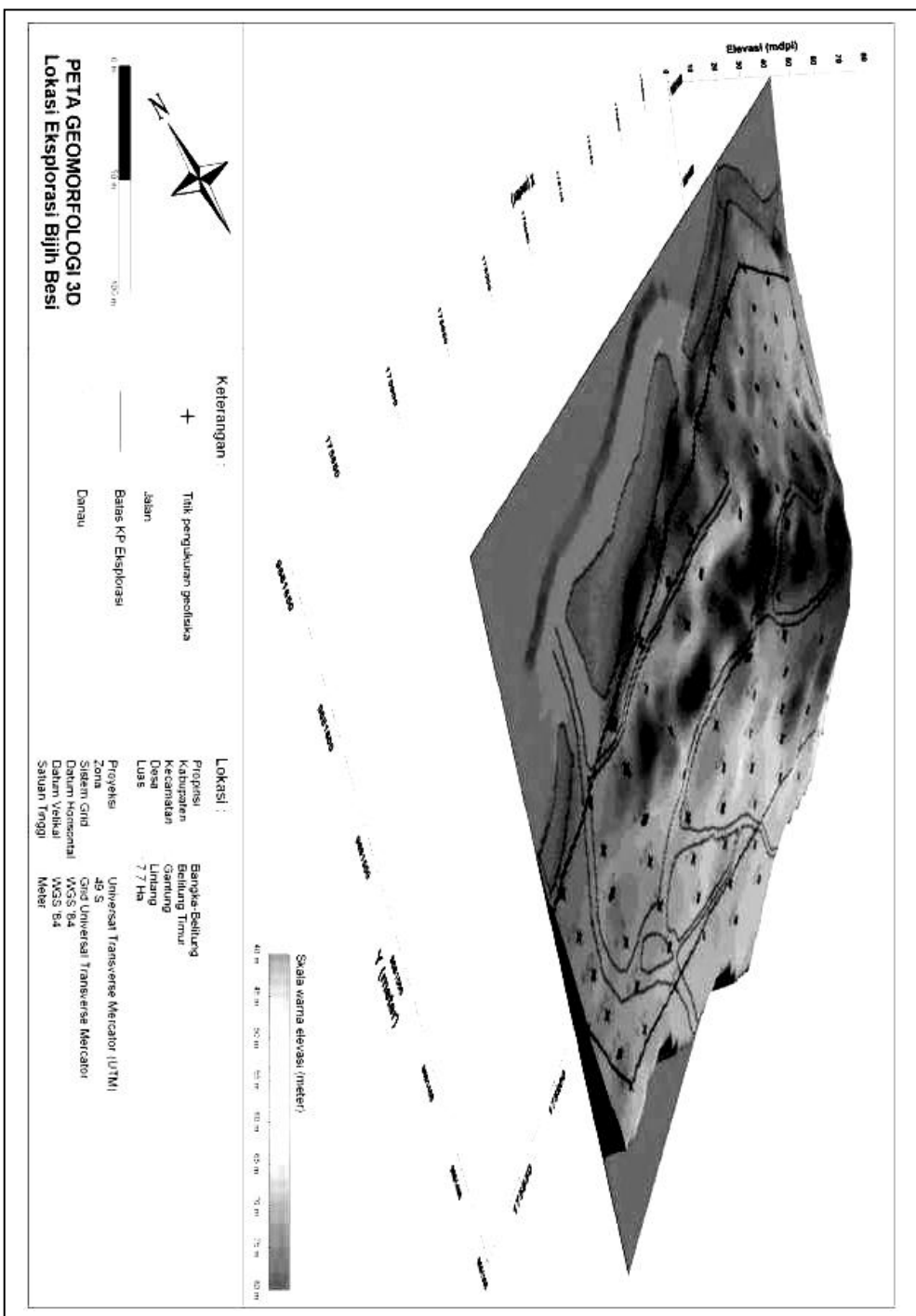


Gambar 1. Susunan Elektroda Dipole-dipole Resistivity (Roger,G.R.,1966)

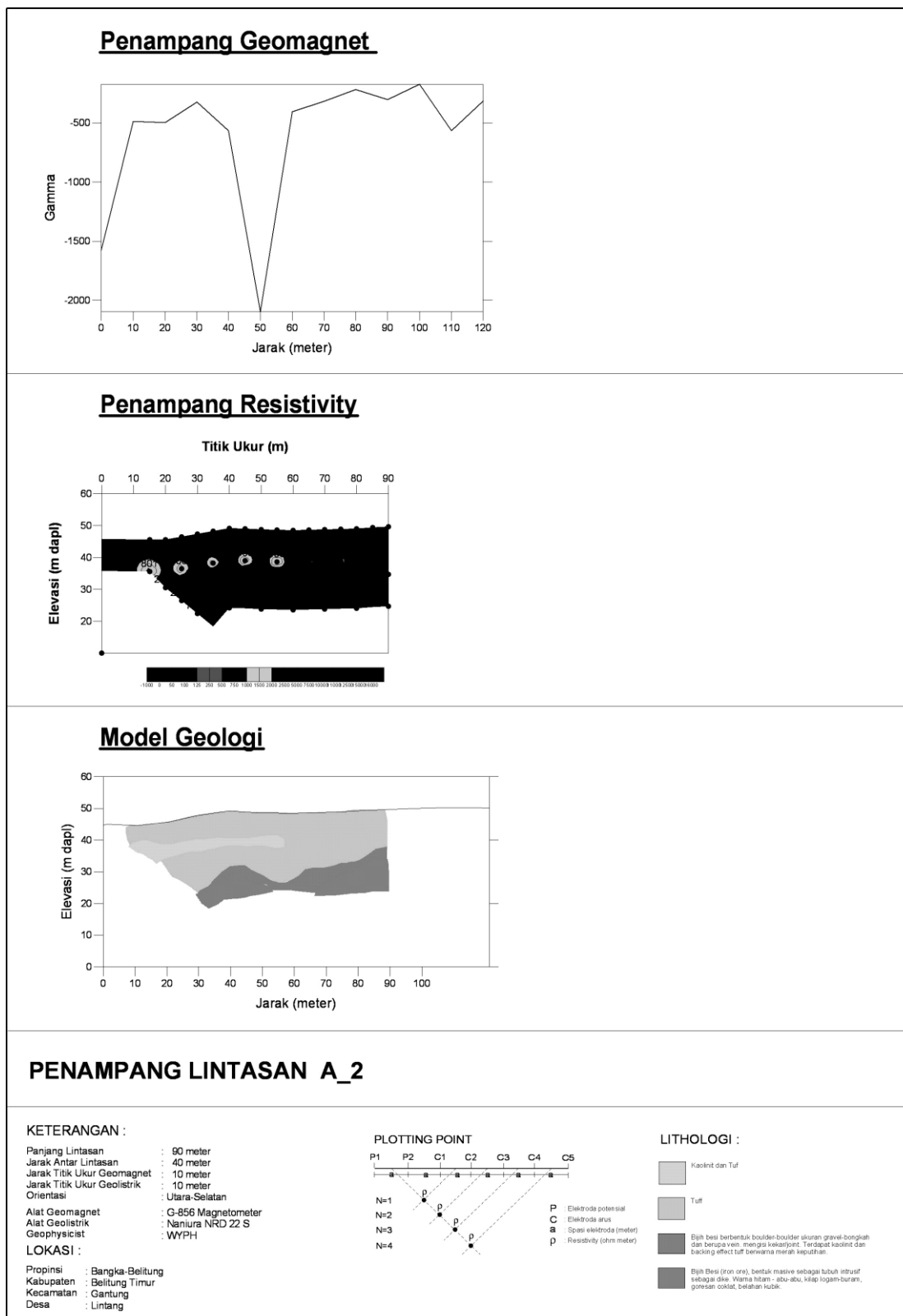


Gambar 2. Peta topografi eksplorasi bijih besi

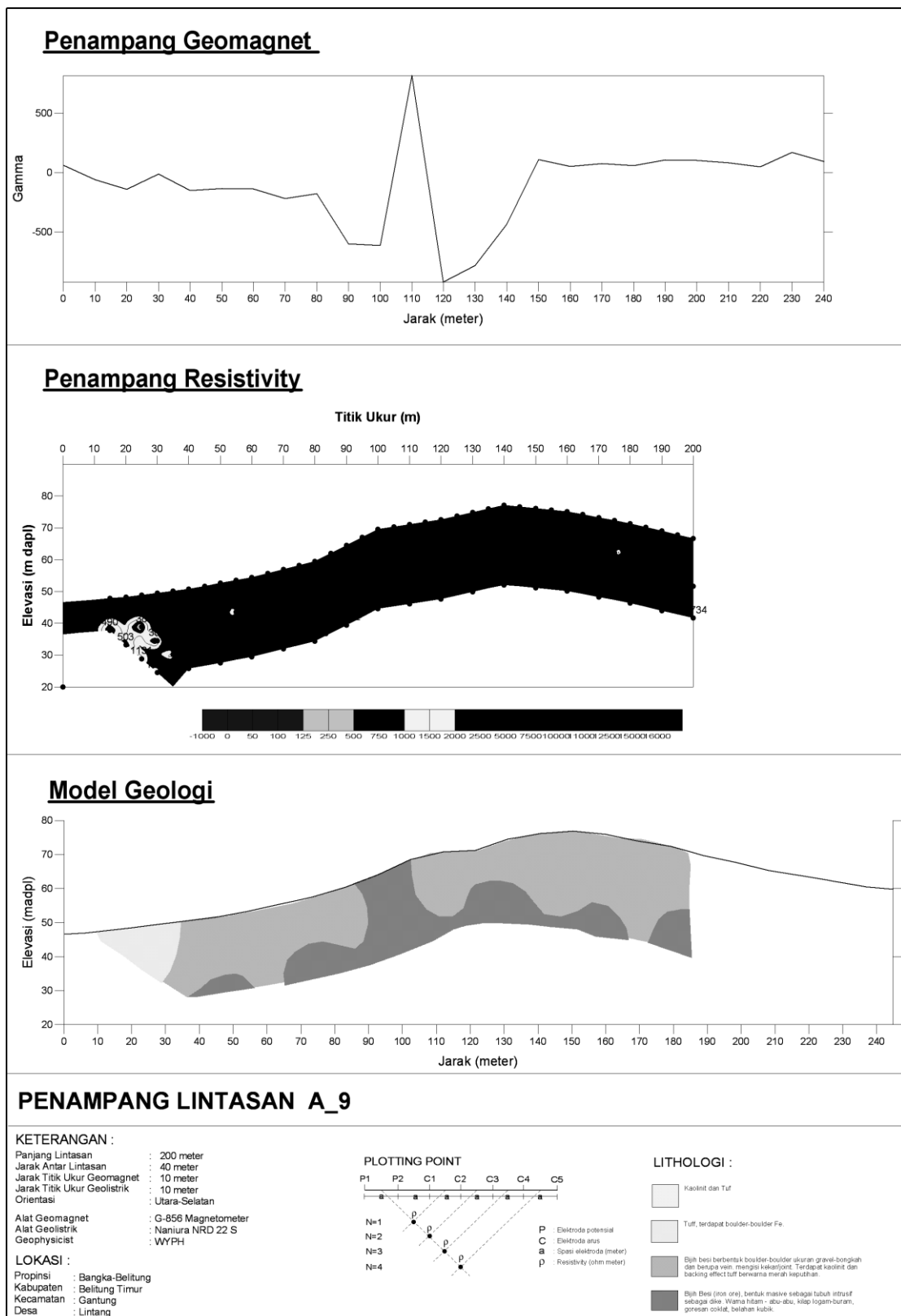
Eksplorasi bijih besi dengan metode dipole-dipole dengan geomagnet di wilayah Gantung, Kab. Blitung Timur, Provinsi Blitung (Andi Agus Noor)



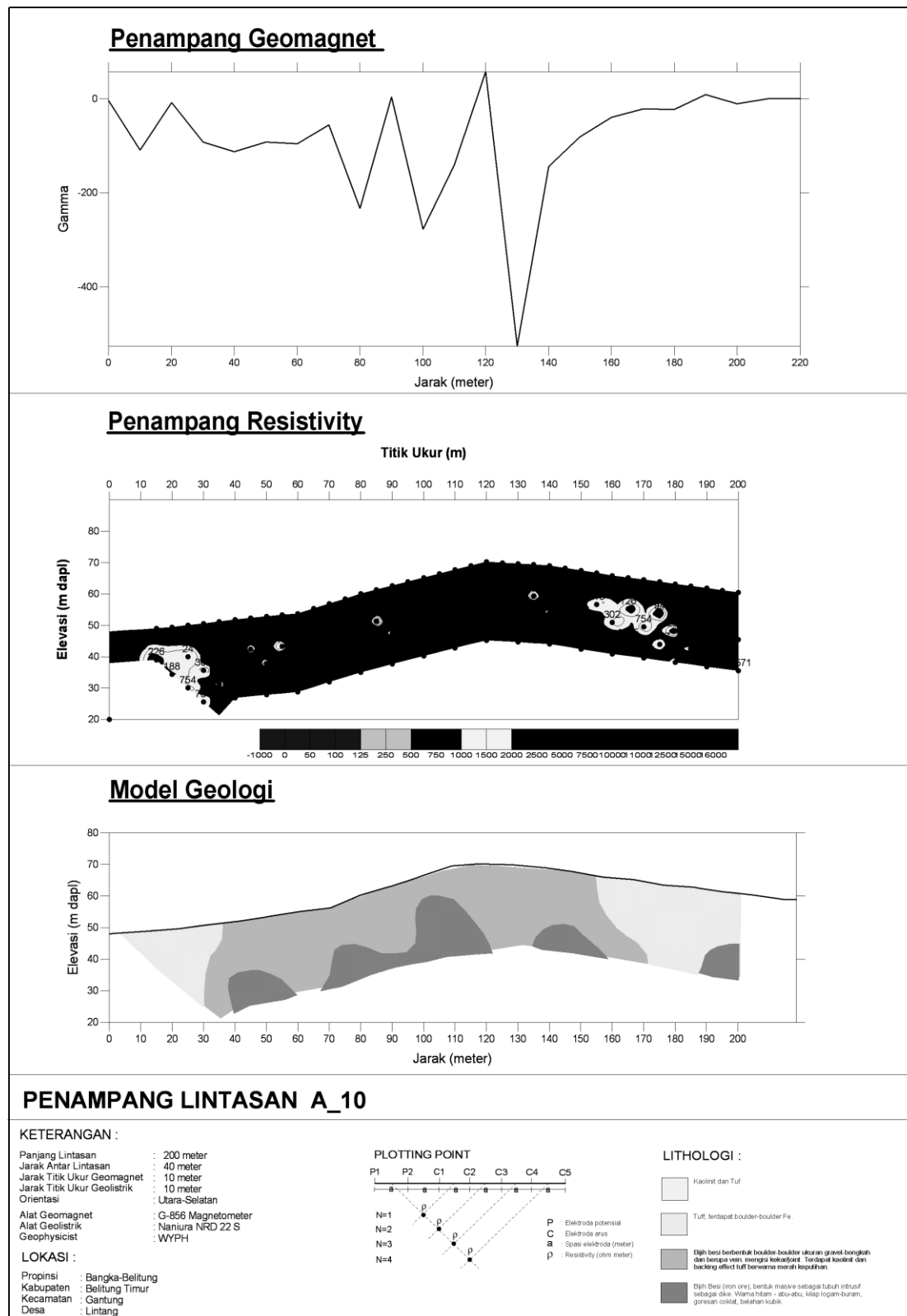
Gambar 3. Peta Geomorfologi di wilayah lokasi eksplorasi bijih besi



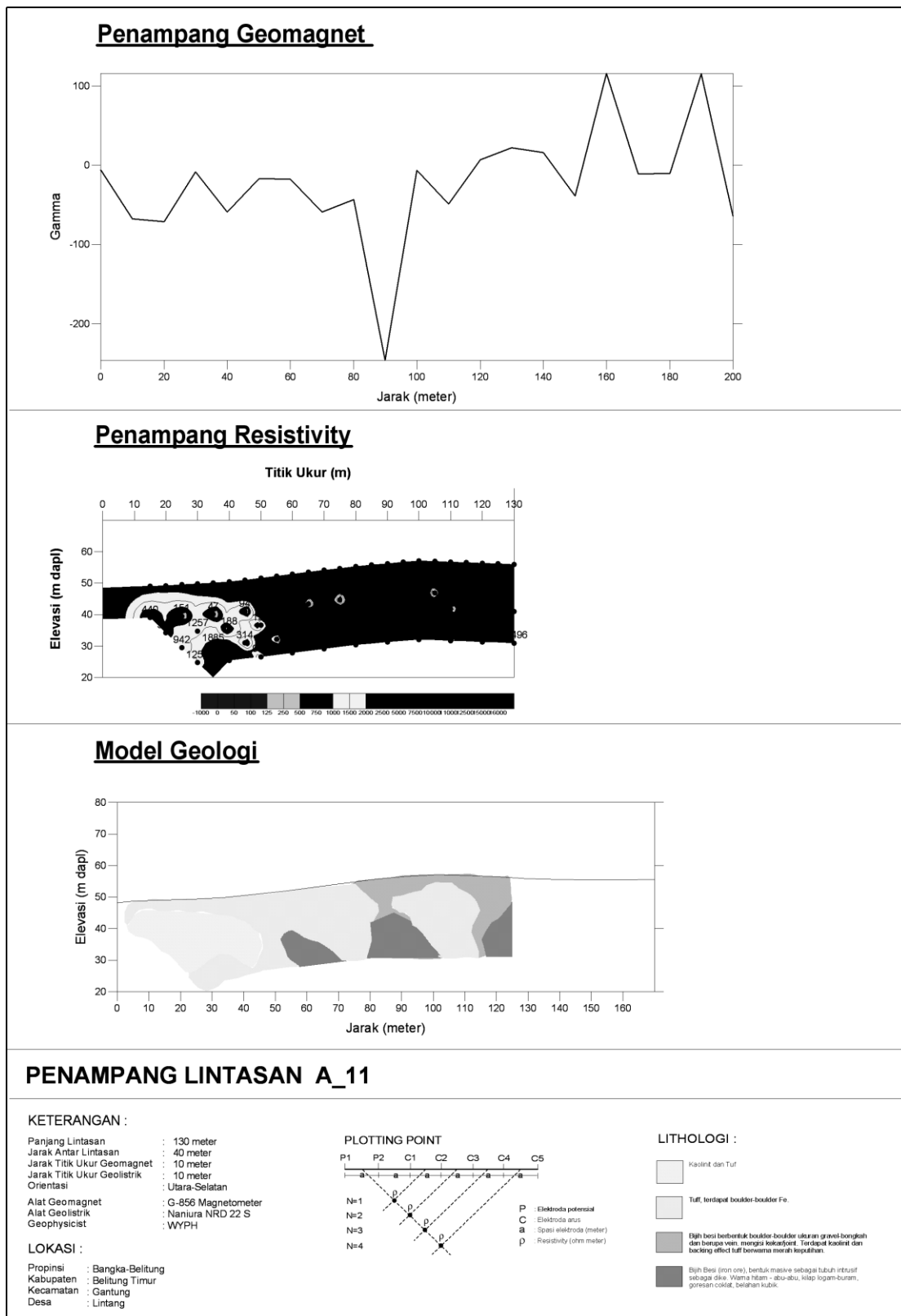
Gambar 4. Penampang Lintasan A\_2



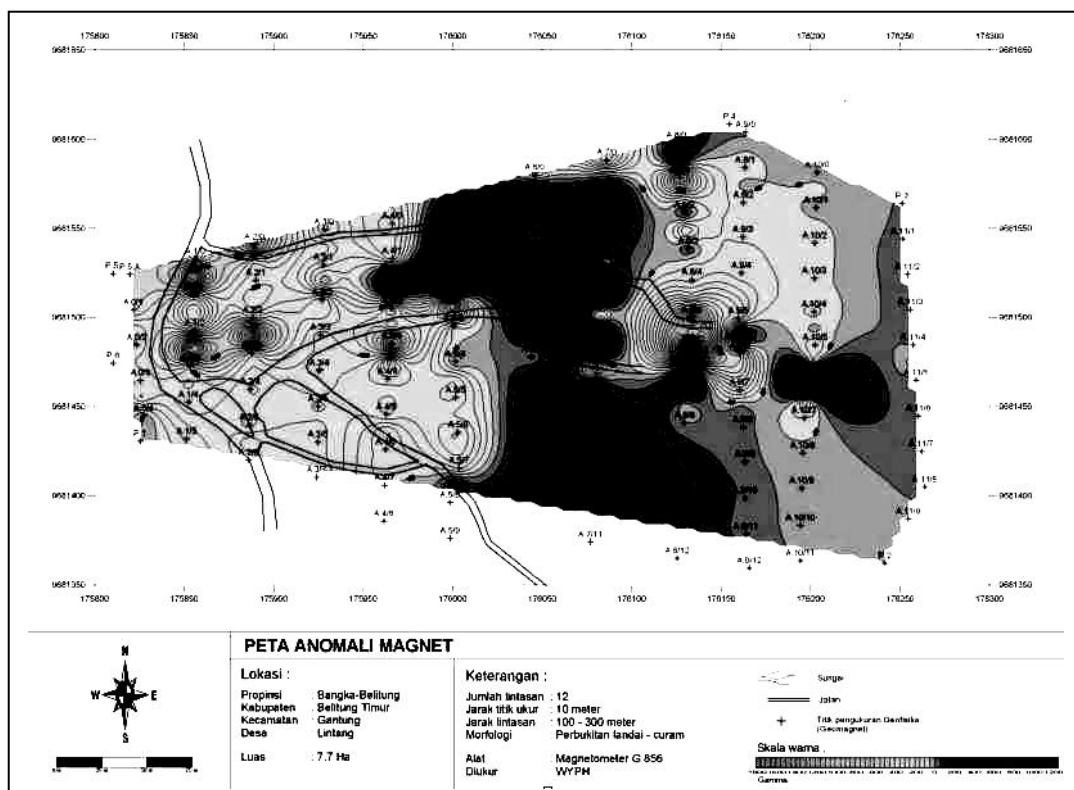
Gambar 5. Penampang Lintasan A\_9



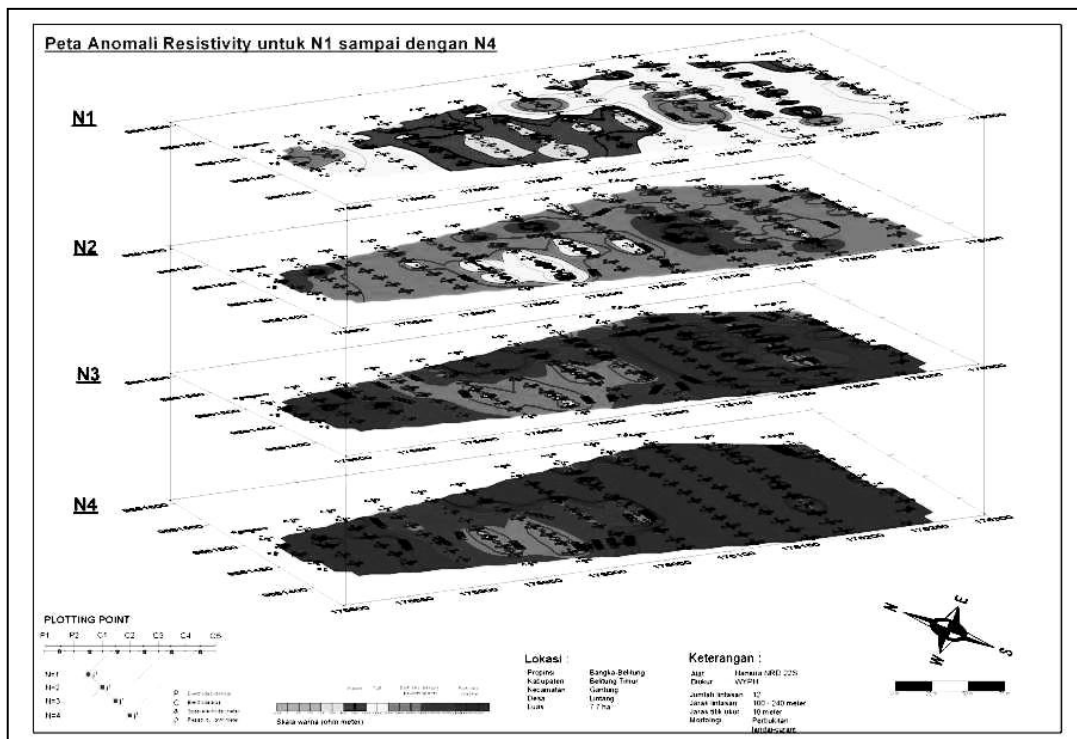
Gambar 6. Penampang Lintasan A\_10



Gambar 7. Penampang Lintasan A\_11



Gambar 8. Peta anomali gaya berat



Gambar 9. Peta anomali resistivitas untuk N1 s.d. N4